pH 值对注射剂的影响。

- 3.2 人参皂苷 Rg_2 注射液所用人参皂苷 Rg_2 为 S 型与 R 型的等量异构体,本实验中人参皂苷 Rg_2 的 测定,采用了 S 型与 R 型分别测定法。
- 3.3 应对最优工艺条件进行验证试验,以确保工艺的重复性和正确性,本研究最优工艺为 $A_1B_2C_3$,即选用 25% 1,2-丙二醇与 25%聚乙二醇 400 为混合

助溶剂,不加抗氧剂,调节注射液 pH 值为 $3.5\sim$ 5.5。在实际人参皂苷 Rg_2 注射液配制过程中,基本上不用调 pH 值,其注射液 pH 值已在 $3.5\sim$ 5.5。

Reference:

[1] Zhang Z W, Zhao Y J, Ye J M, et al. Effects of ginsenoside Rg₂ on myocardial damage induced by endotoxic diffuse intravascular coagulation and hemorrheology [J]. Chin Tradit Herb Drugs (中草药), 2002, 33 (9); 814-816.

羟丙基-β-环糊精对降香挥发油包合作用的研究

王 靖1,张铁军2,王文燕2

(1. 天津中医学院,天津 300193; 2. 天津药物研究院,天津 300193)

摘 要:目的 研究降香挥发油的羟丙基-β-环糊精包合物的制备方法及包合物的验证。方法 采用水溶液搅拌法制备降香挥发油的羟丙基-β-环糊精包合物,采用 HPLC 法测定降香挥发油和包合物的水溶液中反式-橙花叔醇,并经薄层色谱、差示热分析、相溶解度法、核磁共振、扫描电镜法对包合物进行验证。结果 降香挥发油已和羟丙基-β-环糊精形成包合物。结论 羟丙基-β-环糊精可以包合降香挥发油,使降香挥发油溶解度提高41倍。

关键词:降香;挥发油;羟丙基-β-环糊精;包合物

中图分类号:R286.02

文献标识码:B

文章编号:0253-2670(2006)05-0700-04

Inclusion complex of volatile oil from Lignum Dalbergiae Odoriferae with hydroxypropyl-β-cyclodextrin

WANG Jing1, ZHANG Tie-jun2, WANG Wen-yan2

(1. Tianjin College of Traditional Chinese Medicine, Tianjin 300193, China; 2. Tianjin Institute of Pharmaceutical Research, Tianjin 300193, China)

Key words: Lignum Dalbergiae Odoriferae (LDO); volatile oil; hydroxypropyl-β-cyclodextrin; inclusion complex

降香为豆科植物降香檀 Dalbergia odorifera T. Chen 树干和根的干燥心材,主产于海南,具有行气活血、止痛、止血的功能。常与丹参、川芎等组成复方,制成注射剂,用于心脑血管系统疾病的治疗,具有抗血栓形成的作用[1]。降香主要成分为挥发油,且与其主治功效密切相关[2]。但挥发油在水中溶解性差,且性质不稳定,易挥发、氧化变质。为了减少制剂过程中挥发油的损失,本实验采用羟丙基-β-环糊精(HP-β-CD)对降香挥发油进行包合,通过正交试验对包合工艺进行优化,并对包合物进行验证,对包合前后挥发油的性质进行了研究。

1 仪器与材料

戴安液相色谱仪(P6801 泵,UVD170U 紫外检测器,ASI-100 自动进样器,Chromeleon 色谱工作站),Agilent 公司 HP-6890 气相色谱仪,DW-1

型无极直流恒速搅拌器(巩义市英峪予华仪器厂), Lyo—0.4 冷 冻 干 燥 机, PB303—N 电 子 天 平 (METTLER TOLEDO), 日本理学标准型 TG— DTA 分析仪, BRUKER 400 MHz 超导核磁谱仪, HITACHI S—3500N 扫描电子显微镜。

橙花叔醇对照品(Sigma 公司,顺反异构混合液),HP-β-CD(西安德立化工有限公司),正十四醇(色谱标准,天津市光复精细化工研究所),降香药材产地为海南九龙山,经鉴定符合《中国药典》2005 年版一部"降香"项下规定,甲醇为色谱纯,其他试剂均为分析纯,水为重蒸水。

2 方法与结果

2.1 挥发油的提取;称取粉碎粒度为 0.5~2 cm 的降香药材 100 g,加 8 倍量水,浸泡 12 h,水蒸气蒸馏 法提取挥发油,收集挥发油经适量无水硫酸钠脱水,

得淡黄色挥发油,备用。

2.2 降香挥发油的 HP-β-CD 包合物包合工艺条件 的选择:采用正交试验筛选制备包合物的最佳工艺 条件。以挥发油和 HP-β-CD 的用量比、HP-β-CD 的 浓度、包合温度为影响因素,以包合物得率、油利用 率为指标进行综合评价,确定包合物的最佳制备工 艺条件:降香挥发油与 HP-β-CD 的体积质量比为 1:30,HP-β-CD 的质量浓度为 0.1 g/mL,包合温度为 30 °C。

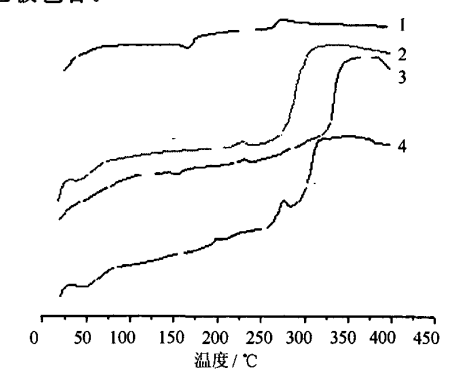
2.3 降香挥发油的 HP-β-CD 包合物的制备: 称取 HP-β-CD 30 g,置于 500 mL 烧杯中,加 300 mL 水溶解,转移至三颈瓶中,置于 30 ℃水浴中,在剧烈搅拌的条件下,逐滴缓慢滴加入 1.0 mL 降香挥发油,密封瓶口,继续搅拌 2 h,室温静置过夜。0.22 μm 微孔滤膜滤过,冷冻干燥,即得。

2.4 降香挥发油的 HP-β-CD 包合物的验证

2.4.1 薄层色谱法:取降香挥发油包合物(约含降 香挥发油 6 μL)加适量乙醚分 3 次洗涤,滤过,合并 滤液,挥去乙醚,残渣加无水乙醇 1 mL 使溶解,作 为包合物乙醚洗涤液。洗涤后的包合物在干燥条件 下挥去乙醚,加水溶解,用适量乙醚分3次萃取,合 并乙醚萃取液,挥去乙醚,残渣加无水乙醇 1 mL 使 溶解,作为包合物提取液。另取降香挥发油,加无水 乙醇制成 6 µL/mL 的溶液,作为对照品溶液。吸取 上述 3 种溶液各 2 μL,分别点于同一硅胶 G 薄层板 上,以甲苯-乙醚-三氯甲烷(7:2:1)为展开剂,展 开,取出,晾干,喷以10%硫酸乙醇溶液,在105℃ 加热至斑点显色清晰。降香挥发油包合物乙醚洗涤 液无斑点,降香挥发油包合物提取液和降香挥发油 对照品溶液斑点完全一致,结果说明降香挥发油已 被 HP-β-CD 包合。挥发油在包合前后的斑点数量及 颜色均一致,表明挥发油在包合前后的化学组成未 发生明显改变。

2.4.2 差示热分析:测试条件:以 Al_2O_3 为参比,以 10 C/min 的升温速率在室温至 400 C对样品进行差示热分析。降香挥发油、HP-β-CD、降香挥发油与 HP-β-CD 的机械物理混合物及 HP-β-CD 对降香挥发油的包合物的差示热分析,结果见图 1。由 DTA 曲线可以看出,降香挥发油在 169 C有 1 个吸热峰,在 275 C有 1 个放热峰;HP-β-CD 在 230 C有 1 个 吸热峰,在 275 C有 1 个放热峰;158 C有 1 个 吸热峰,在 158 C有 1 个 成热峰,是降香挥发油和 158 C有 158

个样品的峰不同,表明形成一种新的物相,降香挥发油已被包合。



1-降香挥发油 2-HP-β-CD 3-降香挥发油与 HP-β-CD 机械物理混合物 4-降香挥发油的 HP-β-CD 包合物

1-volatile oil from LDO 2-HP-β-CD 3-mixture of volatile oil from LDO and HP-β-CD 4-inclusion complex of volatile oil from LDO hydroxypropyl-β-cyclodextrin

图 1 差示热分析图谱

Fig. 1 Differential thermal analysis patterns 2.4.3 相溶解度法

色谱条件与系统适用性:色谱柱:Diamonsil C_{18} 柱 (250 mm × 4.6 mm, 5 μ m);流动相:甲醇-水 (85:15);体积流量:1.0 mL/min;检测波长:210 nm;柱温:30 ℃;进样量:20 μ L。理论板数按反式-橙花叔醇峰计算应不低于 4 000,反式-橙花叔醇峰与其他峰的分离度不小于 1.5。

对照品溶液的制备:精密量取反式-橙花叔醇对照品 $10~\mu$ L,置 10~mL 量瓶中,加 85%甲醇溶解并稀释至刻度,摇匀。精密量取 1~mL,置 10~mL 量瓶中,加 85%甲醇至刻度,摇匀。精密量取 2~mL,置 10~mL 量瓶中,加 85%甲醇至刻度,摇匀,作为对照品溶液。

供试品溶液的制备: 称取包合物约 13 mg, 精密称定,置 10 mL 量瓶中,加 85%甲醇溶解并稀释至刻度,作为供试品溶液。

线性关系考察:准确吸取反式-橙花叔醇对照品溶液 $5,10,15,20,25,30~\mu$ L 注人液相色谱仪,在上述色谱条件下测定,以进样量为横坐标,反式-橙花叔醇峰峰面积为纵坐标,得线性回归方程 Y=780.29~X+4.608~1, r=0.999~9。表明反式-橙花叔醇在 $1\times10^{-6}\sim6\times10^{-4}~\mu$ L 与峰面积呈良好的线性关系。

精密度试验:精密吸取同一供试品溶液,连续进样 6次,按上述色谱条件测定峰面积,以反式-橙花叔醇计,RSD为 0.99%。

稳定性试验:精密吸取同一供试品溶液,分别在0、2、4、8、12、24 h 进样,按上述色谱条件测定峰面积,以反式-橙花叔醇计,RSD为1.98%,结果表明,供试品溶液在24 h 内稳定。

重现性试验:同一批样品,按供试品溶液的制备 方法平行制备 6 份,按上述色谱条件测定峰面积,计 算反式-橙花叔醇体积分数,其 RSD 为 1.68%。

加样回收率试验:精密称取包合物约 6.0,7.0、8.0 mg 各 3 份于 10 mL 量瓶中,分别加入 0.1 μ L/mL 橙花叔醇对照品 1.2,1.0,0.8 mL,加 85%甲醇稀释至刻度,按上述色谱条件测定,计算加样回收率,结果反式-橙花叔醇的加样回收率为 102.62%,RSD 为 1.31%。

相溶解度曲线绘制:配制 0.2.4.8.10.12.14.16 mg/mL 的 $HP-\beta$ -CD 水溶液 25 mL,分别加入过量的降香挥发油,超声 20 min,静置,取下部溶液稀释至适当浓度,采用液相色谱法测定反式-橙花叔醇。以 $HP-\beta$ -CD 的浓度为横坐标,以反式-橙花叔醇的浓度为纵坐标作图,得相溶解度曲线,见图 2.6 该曲线表明随着 $HP-\beta$ -CD 浓度的增加,反式-橙花叔醇浓度也增加,说明降香挥发油已被 $HP-\beta$ -CD 包合,在水中溶解度不断增加。求出该曲线的回归方程 $Y=0.09163X+3.502\times10^{-5}$,r=0.9965.说明反式-橙花叔醇和 $HP-\beta$ -CD 形成包合物的物质的量组成比为 $1:1^{[5]}$,可计算出包合稳定性常数 K 为 $2.508^{[4]}$ 。

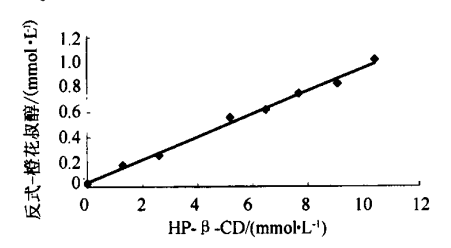


图 2 相溶解度曲线

Fig. 2 Phase solubility curve

反式-橙花叔醇的测定及溶解度变化:由以上可以得出反式-橙花叔醇在水中的溶解度是 2.39×10^{-5} mol/L,当 HP-β-CD 的浓度为 10.4 mmol/L 时,反式-橙花叔醇的溶解度 9.81×10^{-4} mol/L,反式-橙花叔醇的溶解度在包合后比包合前提高41倍。

2.4.4 核磁共振:将降香挥发油、HP-β-CD、包合物分别溶于氘水中,于 400 MHz 超导核磁谱仪上测试 氢谱。将包合物图谱放大与降香挥发油的图谱进行比较,见图 3。挥发油部分的化学位移明显向低场移

动,并且自旋系统发生变化,偶合常数改变,图谱的 峰形有很大的变化。将包合物图谱与 HP-β-CD 的图 谱进行比较,见图 4。包合物图谱中,HP-β-CD 的峰 形也有变化,偶合常数发生变化。说明降香挥发油已 被 HP-β-CD 包合。

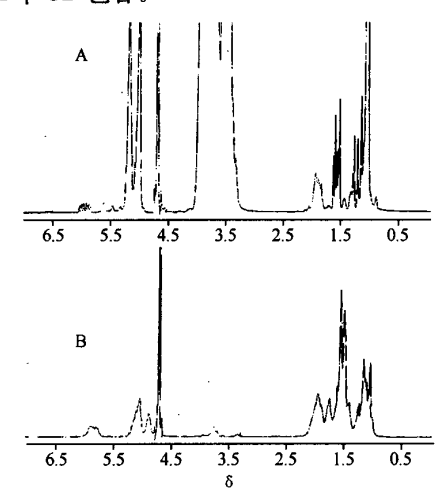


图 3 降香包合物(A)与挥发油(B)的'H-NHR峰形比较 Fig. 3 Comparison of 'H-NHR peak shape between inclusion complex (A) and

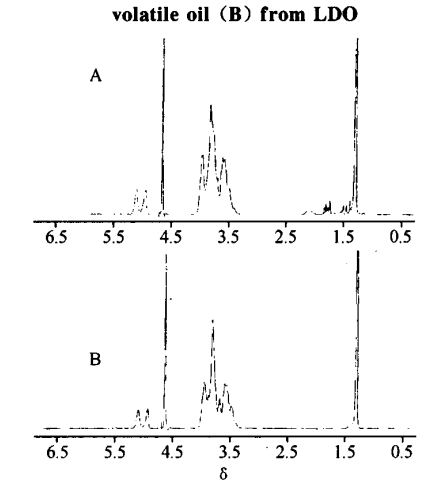


图 4 包合物(A)与 HP-β-CD (B)的 H-NMR峰形比较

Fig. 4 Comparison of 'H-NMR peak shape between inclusion complex (A) and HP- β -CD (B)

2.4.5 扫描电镜:将 HP-β-CD 和包合物分别用扫描电子显微镜进行观察,电镜照片见图 5,结果显示包合前后物相形态发生了较大改变,从一个方面证明了包合物的形成。

2.5 包合前后降香挥发油气相色谱图比较

2.5.1 色谱条件与系统适用性:HP-1 石英毛细管柱(30 mm×0.32 mm×0.25 mm);升温程序:初始温度 90 ℃,保持 3 min 后以 30 ℃/min 升温到 214



图 5 HP-β-CD (A)和包合物(B)的扫描电镜照片 Fig. 5 Scanning electron microscope photograph of HP-β-CD (A) and inclusion complex (B)

C,保持6 min 后,再以40 ℃/min 升温到218 ℃,再保持55 min;检测器温度:250 ℃;气化室温度:250 ℃;柱前压:2 068 0 Pa;载气:N₂;进样方式:直接进样;理论板数按反式-橙花叔醇计算应不低于50 000。2.5.2 内标液的制备:取十四醇适量,称定,加无水乙醇制成2 mg/mL 的溶液,即得。

- 2.5.3 包合前的挥发油溶液的制备:将 10 μL 降香挥发油加人 1 mL 内标溶液中,摇匀,即得。
- 2.5.4 包合后的挥发油溶液的制备:取包合物适量,加水溶解后,用水蒸气蒸馏法回提油,收集挥发油,同上法配制,即得。
- 2.5.5 图谱对比:所得色谱图基本相同。包合前后,降香挥发油气相色谱峰的组成没有发生变化,说明 HP-β-CD 对降香挥发油的包合不会引起挥发油性 质的改变。

3 讨论

3.1 HP-β-CD 是由 β-环糊精(β-CD)与 1,2-环氧丙烷缩合而成,β-CD 是由 7 个葡萄糖通过 α -1,4 糖苷键连接而成的环状低聚糖化合物,在 β-CD 葡萄糖的 C_2 、 C_3 、 C_6 位上 3 个羟基氢原子不同程度地被 1,2 环氧丙烷取代,形成取代度不同的 HP-β-CD 同系物,一般情况下,HP-β-CD 是混合物 $^{[5]}$ 。其立体结构是具有两端开口的环状中空圆筒状分子结构,葡萄糖残基上的羟丙基主要分布在腔的外围,糖苷键氧原子位于腔体中部,因此,腔内疏水,腔外亲水,在分子空穴内可以包合大小和形状与空穴相适应的疏水性分子,以增加该物质在水中的溶解度。

3.2 对于包合单体化合物,可以用核磁共振分析包合物的结果^[6,7],但对于包合混合物,由于成分多,结

构没有全部确定,无法分析包合物结构,明确各基团 之间化学位移的变化和相互作用,只能通过化学位 移总体变化和峰形的变化来判断是否形成包合物。

- 3.3 扫描电子显微镜可以直接观察到包合物及其原料的微观结构,由于晶格排列发生变化,HP-β-CD、包合物所观察到的形态不同,有文献报道^[8],用不同的包合方法包合同一物质,电镜图谱结果也不一样,仅用扫描电镜一个方法不足以证明包合物的形成,应当结合其他方法共同验证,该方法仅作为辅助说明。
- 3.4 通过相溶解度曲线可以计算出包合后比包合前反式-橙花叔醇溶解度提高了 41 倍,能够反应出降香挥发油的溶解度被大大的提高了,同时,降香挥发油的利用率得到极大的提高,节省了原料,促进资源保护;降香挥发油经 HP-β-CD 包合后,为白色固体粉末,其稳定性、抗氧化性、在水中的溶解度均得到极大地提高,可以更好的保证制剂的疗效。

References:

- [1] Zhu L, Guo J X, Leng H W, et al. The influence of volatile oil of Jiangxiang to the thrombus formation and the activity of thrombayte cAMP and plasma fibrinolysin [J]. Chin Tradit Pat Med (中成药), 1992, 14 (4): 30.
- [2] Wang B X, Modern Pharmacology and Clinic of Chinese Traditional Medicine (现代中药药理与临床) [M]. Tianjin: Tianjin Science and Technology Translation and Publishing Corperation, 2004.
- [3] Tu J S, Wang P. Study on inclusion complex of Nifedipine with β-cyclodextrin [J]. Chin J Pharm, 1996, 27 (12): 539-542.
- [4] Yang C Q, Wang J, Zhu M Y. Study on the inclusion compound of cinnarizine with hydroxypropyl-β-cyclodextrin [J]. Chin Hosp Pharm J (中国医院药学杂志), 2004, 24 (1): 9-11.
- [5] Pitha J, Pitha J. Amorphous water soluble derivatives of cyclodextrins: nontoxic dissolution enhancing exciplents [J]. J Pharm Sci., 1985, 74 (9): 987-990.
- [6] Chen L, Chao J B, Ma L H. Studies on norfloxacin with HP-β-cyclodextrin inclusion complexes [J]. Chin J Magn Resonance (波谱学杂志), 2000, 17 (3), 203-210.
- [7] Chen L., He F C., Meng D S. Study of (S)-ketoprofen-β-cyclodextrin inclusion compound [J]. Chin New Drugs J (中国新药杂志), 2004, 13 (2): 136-138.
- [8] Mura P, Faucci M T, Parrini P L, et al. Influence of the preparation method on the physicochemical properties of ketoprofen-cyclodextrin binary systems [J]. Int J Pharm, 1999, 179; 117-128.

《中草药》杂志被确认为允许刊载处方药广告的第一批医药专业媒体

据国家药品监督管理局、国家工商行政管理局和国家新闻出版总署发布的通知,《中草药》杂志作为第一批医药专业媒体,允许发布"粉针剂、大输液类和已经正式发文明确必须凭医生处方才能销售、购买和使用的品种以及抗生素类的处方药"广告。

电话:(022)27474913 23006821 传真:23006821 联系人:陈常青